

ТЕРМОГРАФИЧЕСКОЕ ИССЛЕДОВАНИЕ ПРОЦЕССА САМОВОСПЛАМЕНЕНИЯ БАЛЛИСТИТНОГО ПОРОХА

A. B. Николаев, A. H. Михеев, Ф. Я. Гимельштейн

(Новосибирск)

Тепловое самовоспламенение взрывчатых веществ исследовано в [1—3]. Основное внимание уделялось выявлению причин, приводящих к возникновению вспышки, и изучению процессов, непосредственно ей предшествующих. Характер самовоспламенения в силу недостаточных инструментальных возможностей определялся в ограниченном объеме. Работа [4] была специально посвящена исследованию характера вспышки ряда веществ. Автором предложен метод оценки интенсивности вспышки по высоте подскока шарика, закрывающего отверстие пробирки с исследуемым веществом, помещенной в термостат. Этот метод позволил получить данные по интенсивности вспышки различных соединений. Для оценки таких параметров вспышки, как длительность, максимально достигаемая температура, скорость горения при температуре вспышки и других, требуется привлечение различных экспериментальных методов.

Термографическое исследование нитроглицеринового пороха проводилось в [5]. Оно подтвердило факт экзотермического взаимодействия стабилизирующих добавок с продуктами разложения нитроклетчатки [6]. Эта предшествующая вспышке реакция начинается при температуре $\sim 130^{\circ}\text{C}$ и заканчивается до начала воспламенения пороха. Вспышка зафиксирована на приводимой в [5] термограмме лишь в виде резкого вертикального выброса кривой ДТА.

В данной работе приводятся результаты исследования процесса самовоспламенения пороха Н, полученные на автоматизированной установке термического анализа [7]. Использование ЭВМ в ходе эксперимента и микротермопарных датчиков позволило получить полную температурную кривую воспламенения пороха, установить вид возникающего при этом температурного поля и выявить физические особенности развития процессов, приводящих к вспышке нагретой пороховой массы.

Автоматизированная установка термического анализа, на которой проводились эксперименты, включает в себя печь программируемого нагрева, ЭВМ типа «Электроника-100» и аппаратуру связи между ними. Специальное программное обеспечение создает возможность ввода в ЭВМ данных эксперимента в ходе его проведения и последующую их обработку.

Методика ДТА-эксперимента применялась в ее традиционном виде [8]. Порошок исследуемого баллиститного пороха со средней плотностью 0,425 г/см³ помещался в стеклянную или кварцевую пробирку высотой 22 и внутренним диаметром 5 мм. Эталонным веществом служила окись алюминия. В качестве датчиков использовались дифференциальные платина-платинородиевые термопары с диаметром электродов 50 мкм. Навеска и скорость нагрева изменялись от 50 до 125 мг и от 10 до 40° С/мин соответственно. Опыты проводились в открытом сосуде.

В ходе опыта непрерывно регистрировалась разность температур образца и эталона (ΔT) и температура последнего, что позволило определить температуру печи в момент вспышки (T_0) и получить температурную кривую процесса воспламенения и горения образца.

Типичная температурная кривая процесса самовоспламенения пороха Н приведена на рис. 1, а. Можно выделить четыре характерных

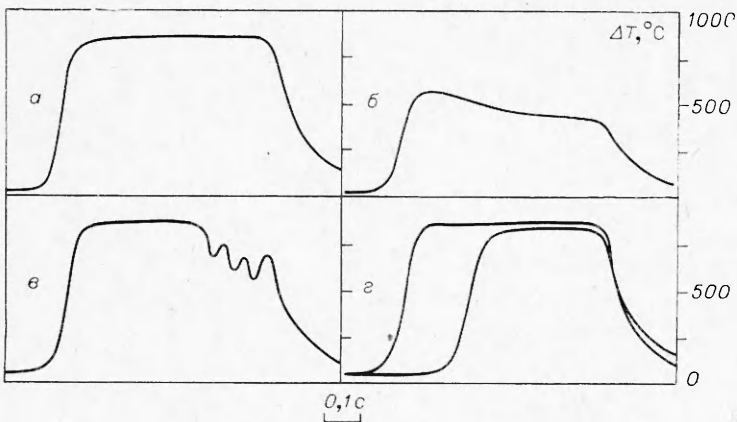


Рис. 1. Температурные кривые вспышки пороха Н; скорость нагрева печи 20 град/мин.
м, мг: а) 100, б) 50, в) 125, г) 100.

участка этой кривой: начальный саморазогрев, крутой подъем, стационарный участок и спад процесса. На отдельных частях температурной кривой введены характеризующие их параметры. Медленное термическое разложение (выгорание) вещества, предшествующее вспышке, оценивалось температурой саморазогрева ΔT . Крутой подъем характеризовался длительностью фронта t_{Φ} и максимальной скоростью изменения температуры T'_{\max} . Пологий участок кривой, соответствующий устойчивому горению образца, оценивался длительностью t_{ct} и максимальной температурой процесса $T_{\max} = \Delta T_{\max} + T_0$. Спад температурной кривой характеризует процесс догорания пороховой массы и охлаждение датчика.

В экспериментальных исследованиях выяснялись зависимости перечисленных выше параметров от скорости нагрева печи и величины навески, а также характера их изменения по высоте исследуемого сечения. Все данные, приведенные ниже, представляют собой значения, усредненные из 5—7 опытов.

Для выяснения особенностей протекания процесса самовоспламенения в пространстве изменялась координата установки измерительной термопары, а также устанавливались две термопары в разных сечениях. Навеска, составляющая 100 мг, и скорость нагрева, равная 20 град/мин, при этом не менялись. При нагревании баллиститный порох вспенивается и увеличивается в объеме, поэтому предварительно проведено несколько опытов для определения высоты вспененной массы вещества. С этой целью над поверхностью образца устанавливался легкий (из тонкой фольги) электрический контакт, который при вспенивании образца замыкался. Перемещение контакта по высоте пробирки позволило установить границу вспененной массы. Опыты показали, что с момента образования пены до вспышки проходит 5–6 с, а исходный порошок пороха увеличивается в объеме в 1,7 раза, достигая уровня 21 мм при исходной высоте 12 мм.

Температура печи в момент вспышки T_0 при навеске 100 мг и скорости нагрева 20 град/мин составляла во всех опытах $166+3^{\circ}\text{C}$, $T_{\max}=990\pm10^{\circ}\text{C}$ и практически не менялась с изменением высоты исследуемого сечения. Остальные характеристики процесса сведены в табл. 1, где показано, что в сечении $x=24$ мм три параметра имеют экстремальное значение: ΔT и T'_{\max} — максимальны, а t_{Φ} — минимальна. Это является следствием возникновения вспышки в области данного сечения. Затем фронт горения сверху вниз распространяется по всей массе образца.

Таблица 1

Изменения параметров температурной кривой вспышки по высоте исследуемого сечения

$x, \text{мм}$	$\Delta T, ^\circ\text{C}$	$t_{\phi}, \text{мс}$	$T'_{\max}, \text{град}/(\text{м} \cdot \text{с})$	$t_{\text{ст}}, \text{мс}$	$u, \text{с}/\text{м}$
6	16 ± 3	120 ± 10	$14,6 \pm 1,6$	435 ± 55	1,4
9	24 ± 2	125 ± 15	$14,6 \pm 1,6$	535 ± 35	1,7
12	16 ± 3	130 ± 10	$12,2 \pm 1,8$	575 ± 45	2,1
15	25 ± 2	135 ± 15	$12,8 \pm 2,2$	580 ± 40	2,6
18	32 ± 3	110 ± 10	$17,0 \pm 1,8$	710 ± 70	2,6
21	46 ± 3	95 ± 5	$17,6 \pm 1,8$	810 ± 75	2,6
24	54 ± 2	85 ± 10	$19,6 \pm 1,2$	755 ± 55	3,2
27	48 ± 2	120 ± 10	$16,4 \pm 1,6$	785 ± 65	3,4

Длительность стационарного участка процесса позволяет оценить линейную скорость горения образца на участке от измеряемого сечения до конца зоны горения. Соответствующая кривая $u = x/t_{\text{ст}}$, построенная по данным табл. 1, приведена на рис. 2. Если полагать, что массовая скорость горения пороха постоянна, то наблюдаемое изменение линейной скорости по высоте может быть обусловлено различной плотностью образца в результате его вспенивания. Перелом этой кривой в области сечения $x=21$ мм свидетельствует о выходе в газовую фазу, что согласуется с приведенными выше данными о высоте вспененной массы вещества перед вспышкой.

Специально проведенные опыты с регистрацией потери массы позволили установить, что к моменту вспышки выгорает $\sim 20\%$ исходного вещества. Зная объем вспененной массы и среднюю скорость горения, можно оценить величину массовой скорости горения при температуре вспышки, которая оказалась равной $0,5 \text{ г}/(\text{см}^2 \cdot \text{с})$.

Вид кривой начального разогрева $\Delta T(x)$ (рис. 3) может быть объяснен наличием двух зон тепловыделения: над поверхностью пены и в ее глубине. Процесс термического разложения в объеме исходного вещества приводит к вспениванию за счет газификации летучих компонентов пороха [9, 10] и образования газообразных продуктов разложения, а вспышка возникает вследствие реакций в пародымогазовой фазе над поверхностью пены. Это подтвердили также опыты с двумя термопарами, спаи которых находились в разных сечениях: сигнал термо-

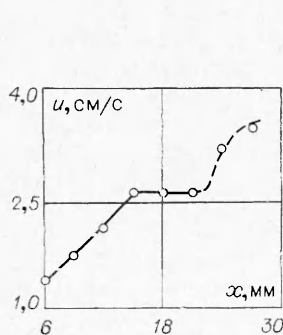


Рис. 2. Изменение линейной скорости горения по высоте исследуемого сечения.

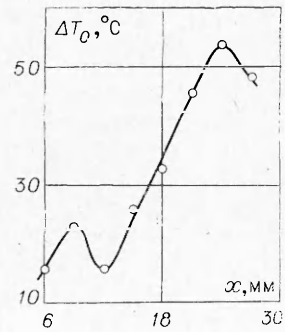


Рис. 3. Изменение начального разогрева вспененной массы вещества по высоте исследуемого сечения.

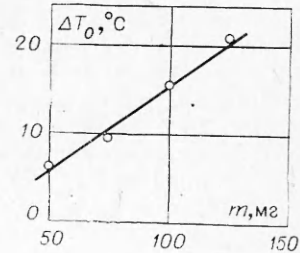


Рис. 4. Зависимость начального разогрева от величины навески.

Таблица 2

Влияние величины навески и скорости нагрева на характеристики температурных кривых

Навеска, мг	Скорость нагрева, град/мин	Высота слоя пороха, мм	Температура вспышки, °С	Максимальная температура, °С	Начальный саморазогрев, °С	Длительность фронта, мс	Максимальный градиент температуры, °С/м.с.	Длительность стационарного участка, мс	Линейная скорость горения, см/с
50	20	6	165±1	680±15	6±1	140±15	7,6±1,2	310±60	1,9
75	20	9	167±1	910±25	10±2	120±15	11,8±1,6	430±70	2,1
100	20	12	164±2	990±10	16±3	130±10	12,2±1,8	575±45	2,1
125	20	15	163±1	985±15	21±2	120±10	12,4±1,4	435±60	3,4
100	10	12	156±1	950±15	8±2	125±15	11,6±1,4	580±55	2,1
100	40	12	167±1	980±15	16±3	105±10	13,8±1,2	300±50	4,0

пары, расположенной в сечении $x=23$ мм, на 340 мс опережает сигнал второй термопары, находящейся на высоте 13 мм (рис. 1, г). Величина линейной скорости горения, полученная из опытов с двумя датчиками, совпадает со значениями, вычисленными по длительности пологого участка.

В табл. 2 приведены результаты экспериментов, полученные при различных навесках и скоростях нагрева. Термопара во всех опытах устанавливалась на поверхности порошка. Как видно из данных таблицы, при одной и той же скорости нагрева с увеличением навески пропорционально возрастает температура саморазогрева. Ввиду неизменности во всех опытах начальной плотности пороха это означает, что саморазогрев прямо пропорционален высоте образца в пробирке. Начальный саморазогрев определяется тепловыделением в объеме образца и теплоотводом, который кроме кондуктивного механизма, связанного с отводом тепла через стенку пробирки, включает конвективный теплоотвод продуктами газификации пороха. Интенсивность последнего определяется температурным градиентом газовой среды на границе вспененного вещества. С увеличением навески растет парциальное давление активных продуктов газификации, вступающих над поверхностью пены в экзотермическую реакцию. Это приводит к возрастанию температуры над поверхностью вещества, а следовательно, к снижению интенсивности конвективного теплоотвода и росту начального саморазогрева (рис. 4).

С увеличением навески возрастает также максимальная температура горения, достигая при $t=100$ мг 980—1000°C. Дальнейшее увеличение навески не приводит к возрастанию T_{\max} . Это значение соответствует температуре горения пороха при атмосферном давлении.

При изменении навески меняется характер температурных кривых воспламенения (см. рис. 1, б). Уменьшение максимальной температуры при движении фронта горения вдоль оси кюветы в опытах с малыми навесками указывает на значительную газификацию и уход массы исходного вещества к моменту вспышки. Уход продуктов газификации путем фильтрации через слой пороха облегчается с уменьшением высоты вещества в пробирке и поэтому максимально проявляется при навесках с $t=50$ мг. В опытах с навесками в 75 мг этот процесс выражен менее отчетливо, а в случае $t=100$ мг практически не заметен.

При переходе к навескам в 125 мг наблюдается значительное увеличение линейной скорости горения и сильное диспергирование в конце процесса, приводящее к нерегулярности температурной кривой (см. рис. 1, в). Аналогичные явления наблюдались и в опытах с $t=100$ мг при скорости нагрева 40 град/мин.

При больших навесках и скоростях нагрева значительная часть газообразных продуктов не успевает до вспышки покинуть пределы зоны реакции, что приводит к некоторому повышению давления в массе образца и диспергированию в процессе горения. При меньших скоростях нагрева процесс газификации и фильтрации происходит постепенно, в результате чего к моменту вспышки значительная часть вещества выгорает. Это, в свою очередь, приводит к уменьшению T_{\max} и падению температуры при движении фронта реакции вдоль оси пробирки. Значительный отвод продуктов разложения в газовую fazу способствует достижению критического значения скорости реакции в пародымовой фазе при меньших температурах, что приводит к уменьшению температуры вспышки.

Авторы благодарны И. И. Яковлеву за советы и обсуждение работы.

Поступила в редакцию 15/XII 1976,
после доработки — 26/V 1977

ЛИТЕРАТУРА

1. А. Ф. Беляев. ЖФХ, 1946, **XX**, 7, 613.
2. К. К. Андреев. Докл. АН СССР, 1946, **54**, 39.
3. А. И. Гольбиндер.— В сб.: Теория взрывчатых веществ. М., «Оборонгиз», 1963.
4. Б. Н. Кондриков.— В сб.: Теория взрывчатых веществ. М., «Оборонгиз», 1963.
5. А. А. Ковалевский, Э. В. Конев, Б. В. Красильников. ФГВ, 1967, 3, 4.
6. К. Хуггет.— В сб.: Жидкие и твердые ракетные топлива. М., ИЛ, 1959.
7. А. В. Николаев, Ф. Я. Гимельшнейн, В. М. Зислии. Изв. СО АН СССР, сер. хим., 1974, 9, 4.
8. Г. О. Пилоян. Введение в теорию термического анализа. М., «Наука», 1964.
9. В. В. Александров, С. С. Хлевной. ФГВ, 1970, 6, 4.
10. В. В. Александров и др. ФГВ, 1973, 9, 1.

О ВОЗМОЖНОМ МЕХАНИЗМЕ ОБРАЗОВАНИЯ ОКИСЛОВ АЗОТА ПРИ ТУРБУЛЕНТНОМ ДИФУЗИОННОМ ГОРЕНИИ

Ю. Я. Бурико, В. Р. Кузнецов

(Москва)

Исследование возникновения NO_x посвящена обширная литература. В этих работах основное внимание удалено кинетике окисления азота. Однако смешение и теплоотвод могут оказывать заметное, а иногда и решающее воздействие на образование NO_x , о чем, в частности, свидетельствуют экспериментальные данные [1, 2], полученные при исследовании осесимметричного затопленного турбулентного диффузионного факела водорода. Опыты [1] проведены при $\text{Fr} = u_0^2/gd = \text{const}$ (u_0 — скорость истечения из сопла, d — диаметр сопла, $g = 9,80 \text{ м/с}^2$). Опыты [2] приведены при $\text{Re} = u_0 d/v = \text{const}$ (v — коэффициент кинематической вязкости). Результаты опытов приведены на рис. 1 в виде зависимости $\lg S$ от $\tau = d/u_0$ ($S = c_{\max}/\tau$, c — концентрация NO_x , c_{\max} — максимальная концентрация NO_x на оси факела). Видно, что по мере увеличения характерного времени пребывания в факеле τ концентрация окислов азота и величина S убывают.

Эти результаты не тривиальны и, как будет видно ниже, их нельзя объяснить в рамках предположений, традиционных для теории